

## 第二章 道路与回路

### § 2.1 道路与回路概述

**定义 1.1** 无向图  $G$  的一个有限点边交替序列

$$P = \{v_0, e_1, v_1, e_2, \dots, e_m, v_m\}$$

使得对任意  $1 \leq i \leq m$ ,  $e_i$  的端点是  $v_{i-1}$  和  $v_i$ , 则称  $P$  为  $G$  的一条路径,  $v_0$  和  $v_m$  分别称为

$P$  的起点和终点.  $m$  称为  $P$  的长度. 特别地, 边均不相同的路径称为链; 结点均不相同(除起点和终点有可能相同外)的路径称为道路(简称路); 起点和终点相同的路径(链, 路)称为闭路径(闭链, 回路); 长度为偶(奇)数的路(回路)称为偶(奇)路(回路).

**例 1.1** 在图 2.1 中,  $(v_2, e_6, v_5, e_7, v_2, e_8, v_4, e_4, v_5, e_7, v_2, e_1, v_1)$  是一条路径;

$(v_1, e_1, v_2, e_6, v_5, e_7, v_2, e_2, v_3)$  是一条链;  $(v_3, e_3, v_4, e_8, v_2, e_1, v_1)$  是一条路.

$(v_2, e_6, v_5, e_7, v_2, e_8, v_4, e_4, v_5, e_7, v_2)$  是一条闭路径;  $(v_2, e_6, v_5, e_7, v_2, e_8, v_4, e_3, v_3, e_2, v_2)$  是一条闭链;  $(v_2, e_2, v_3, e_3, v_4, e_4, v_5, e_5, v_1, e_1, v_2)$  是一条回路.

注 1: 有时在不引起混淆的情况下, 为方便起见, 可仅以点序列或边序列表示路径, 例如在图 2.1 中,  $(e_2, e_3, e_8)$  和  $(v_2, v_3, v_4, v_2)$  均可表示回路  $(v_2, e_2, v_3, e_3, v_4, e_8, v_2)$ .

注 2: 非闭道路的长度小于等于  $n-1$ , 回路长度小于等于  $n$ . 两结点间有路径, 则必有道路.

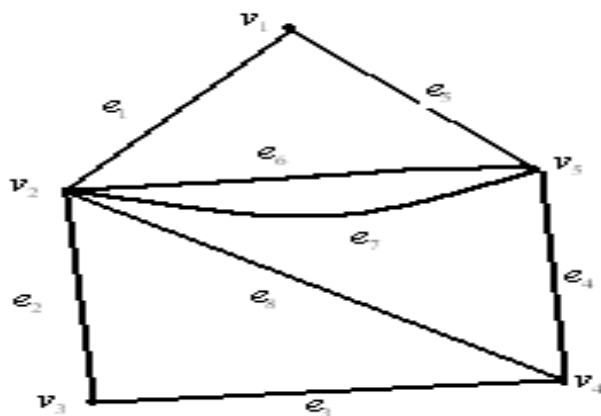


图 2.1

**定义 1.2** 在有向图  $D$  中, 如果有限点边交替序列  $P = v_0 e_1 v_1 e_2 \dots e_m v_m$  使得对  $1 \leq i \leq m$ ,

$e_i = (v_{i-1}, v_i)$ , 则称  $P$  为  $D$  的一条有向路径.  $v_0, v_m$  分别称为  $P$  的起点和终点,  $m$  称为  $P$

的长度.

注: 可类似定义有向链, 有向道路, 有向闭路径, 有向闭链, 有向回路等概念.

**例 1.2** 三个量杯容量分别为 8 升, 5 升和 3 升, 现在 8 升的量杯装满了水, 问怎样才能把水分成两个 4 升.

分析: 将三个量杯中的水量组成的三元有序组看成一个状态, 则起始状态为  $(8,0,0)$ , 目标状态为  $(4,4,0)$ . 将所有可能的状态看作结点. 若从状态  $A$  可转化到状态  $B$ , 则从状态  $A$  到状态  $B$  画一条有向边, 如此得到一有向图  $D$ . 则求解该问题可转化为求有向图  $D$  中的一条从  $(8,0,0)$  到  $(4,4,0)$  的有向道路.

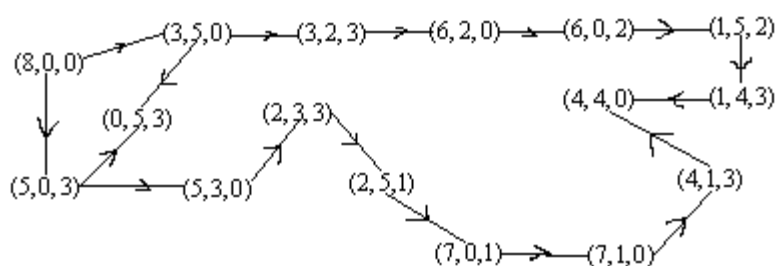


图 2.2

**例 1.3** 给定无向图  $G$ , 若  $\delta(G) \geq 2$ , 则  $G$  必包含回路.

**证明:** 若  $G$  包含自环或重边, 则结论显然成立. 下面假设图  $G$  是简单图. 设  $P = v_0 \cdots v_m$  是  $G$  中的一条最长道路 (长度最大的道路). 则  $N_G(v_0) \subseteq V(P)$ . 令  $j = \max\{i : 1 \leq i \leq m, v_i \in N_G(v_0)\}$ , 因  $\delta(G) \geq 2$ , 故  $j \geq 2$ , 于是  $v_0 v_1 \cdots v_j v_0$  是  $G$  中的一条回路.

要指出的是, 在本例的证明中, 我们选取的道路是最长道路  $P$  (显然, 这总是可行的). 利用  $P$  的最长性, 可以使证明较为简洁. 以后我们将频频使用这种所谓“极大性原则”(或“极小性原则”)的技巧.

下面再看一例, 可看作例 2.3 的推论.

**例 1.4** 设  $C$  是无向简单图  $G$  中含顶点数大于 3 的一个回路, 如果结点  $v_i$  和  $v_j$  在  $C$  中不相邻, 但  $(v_i, v_j) \in E(G)$ , 则称  $(v_i, v_j)$  是  $G$  的一条弦. 若  $\delta(G) \geq 3$ , 则  $G$  中必含带弦的回路.

**证明:** 考察上例中的回路  $v_0v_1\cdots v_jv_0$ , 因此时  $\delta(G) \geq 3$ , 所以  $j \geq 3$ , 故存在  $k$ ,  $1 < k < j$ ,

使  $v_k \in N_G(v_0)$ . 于是  $v_0v_k$  是回路  $v_0v_1\cdots v_k\cdots v_jv_0$  的弦.

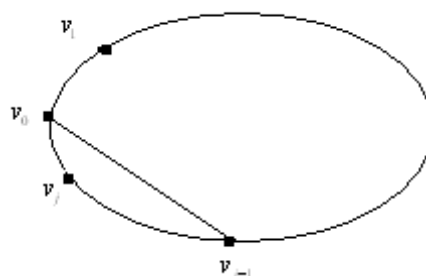


图 2.3

下面引入图的连通概念

**定义 1.3** 在无向图  $G$  中, 若两结点  $u, v$  之间存在路径, 则称  $u$  和  $v$  是连通的, 记作  $u \sim v$ , 并且对于任意  $u \in V(G)$ , 规定  $u \sim u$ . 若  $G$  中任意两个顶点都是连通的, 就称  $G$  是连通图, 否则称为非连通图或分离图.

注 1: 若  $u, v$  之间存在路径, 必存在路.

注 2: 连通关系“ $\sim$ ”是  $V(G)$  上的等价关系. 设商集  $V(G)/\sim = \{V_1, \dots, V_k\}$ , 则导出子图

$G[V_i]$  ( $1 \leq i \leq k$ ) 为  $G$  的极大连通子图, 称为  $G$  的连通分支,  $k$  称为  $G$  的连通分支数, 记为

$\kappa(G)$ . 若  $G$  是连通图, 则  $\kappa(G) = 1$ ; 若  $G$  是分离图, 则  $G$  可表示为  $\kappa(G)$  个连通分支的并.

如图 2.4 图  $G$  可分解为三个连通分支.

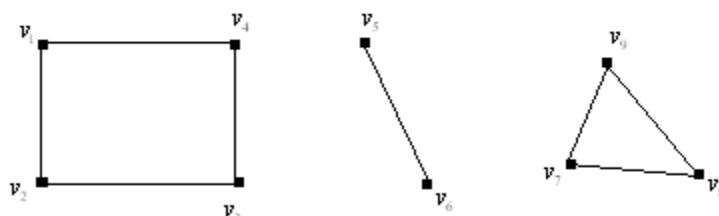


图 2.4

**例 1.5** 设  $G$  是无向简单图, 其连通分支数为  $k$ , 则有

$$n - k \leq m \leq \frac{1}{2}(n - k)(n - k + 1)$$

**证明:** 先来证简单连通图  $G (k=1)$  的边数:  $n-1 \leq m \leq \frac{1}{2}n(n-1)$ . 其实只需证  $m \geq n-1$ .

对结点数  $n$  施行归纳. 当  $n=1$  时, 不等式显然成立. 假设当  $n < n_0 (n_0 \geq 2)$  不等式成立, 来看  $n=n_0$  时的情况, 不妨设  $G$  没有回路 (若  $G$  有回路, 删掉回路上的一条边, 不影响  $G$  的连通性), 则必有  $\delta(G)=1$  (利用例 1.3 的结论), 取定  $G$  的一个悬挂点  $v_0$ , 则显然  $G-v_0$  依然连通, 且  $G-v_0$  的结点数为  $n_0-1$ , 边数为  $m-1$ , 由归纳假设得,  $m-1 \geq n_0-2$ , 即  $m \geq n_0-1$ . 注意到对任意二正实数  $a$  和  $b$ , 有

$$a(a+1)+b(b+1) \leq (a+b)(a+b+1),$$

即知当  $G$  有  $k$  个连通分支时,  $m \leq \frac{1}{2}(n-k)(n-k+1)$ .

注: 当简单连通图  $G$  恰有  $n-1$  条边, 即  $G$  是最小连通图时, 被称为树. 我们将专门安排一章来讨论树.

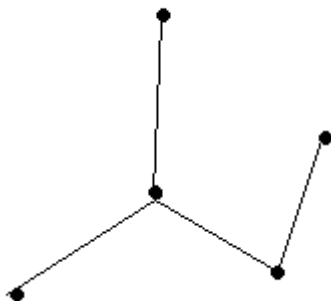


图 2.5

在无向图  $G$  上, 可定义结点之间的距离。

**定义 1.4** 在无向图  $G$  中, 若结点  $u$  和  $v$  是连通的, 则称  $u, v$  之间长度最短的路径为  $u$  和  $v$  之间的短程线 (测地线), 短程线的长度称为  $u$  到  $v$  的距离, 记作  $d(u, v)$ ; 当  $u$  与  $v$  不连通时, 定义  $d(u, v) = +\infty$ .  $d(u, v)$  具有以下性质:

(1)  $d(u, v) \geq 0$ , 当且仅当  $u = v$  时等号成立;

(2)  $d(u, v) = d(v, u)$ ;

(3)  $d(u, v) + d(v, w) \geq d(u, w)$ ; (三角不等式)

例 1.6 如图 2.6,  $d(v_1, v_2) = d(v_1, v_4) = 1$ ,  $d(v_1, v_3) = 2$ ,  $d(v_1, v_5) = d(v_1, v_6) = +\infty$

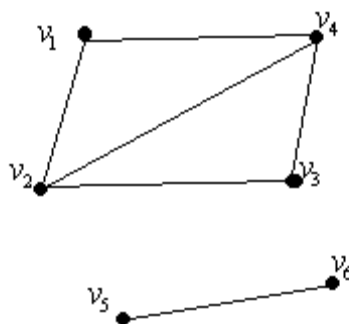


图 2.6

注：记  $d(G) = \max\{d(u, v) : u, v \in V(G)\}$ ，称为  $G$  的直径。

下面介绍一种特别有用的图：二部图。

**定义 1.5** 若无向图  $G$  的结点集  $V(G)$  存在  $r$  ( $r \geq 2$ ) 划分  $(V_1, V_2, \dots, V_r)$ ，使得  $G$  中每条边的两端点分别属于不同的  $V_i$ ，则称  $G$  是  $r$  部图，记作  $G = (V_1, V_2, \dots, V_r; E)$ ；特别地，若  $G$  是  $r$  部简单图，且对任意  $1 \leq i < j \leq r$ ， $V_i$  中的任意结点均与  $V_j$  中的任意结点相邻，则称  $G$  是完全  $r$  部图，记作  $G = K_{n_1, n_2, \dots, n_r}$ ，其中  $n_i = |V_i|$ 。

我们研究最多的是二部图和完全二部图。

二部图的特征可以用回路来刻画。

**定理 1.1** 无向图  $G$  是二部图当且仅当  $G$  中不包含奇回路。

**证明：**必要性：设  $G = (V_1, V_2; E)$ ， $C$  是  $G$  中任一回路，不妨设  $v_0 \in V_1$  是  $C$  的起点，当然也是终点。由于每条边的两端点分别属于  $V_1$  和  $V_2$ ，所以沿回路  $C$  必须经过偶数条边才能

到达  $V_1$  中的结点，所以经过了偶数条边最终又回到  $v_0$ ，即  $C$  是偶回路。

充分性：不妨假定  $G$  是连通图（若  $G$  不是连通图，则考虑它的每个连通分支）。任意选定一结点  $u \in V(G)$ ，定义  $V(G)$  的一个二划分  $(V_1, V_2)$  如下：

$$V_1 = \{v \in V(G) : d(v, u) \text{ is even}\}, V_2 = \{v \in V(G) : d(v, u) \text{ is odd}\}.$$

下面来说明  $V_1$  中任意两个不同结点  $v$  和  $w$  都不相邻。设  $P$  是  $u$  到  $v$  的一条短程线， $Q$  是  $v$  到  $w$  的一条短程线， $u_1$  是  $P$  和  $Q$  的最后一个公共结点（ $P$  和  $Q$  的第一个公共结点是  $u$ ）。因为  $P$  和  $Q$  是短程线，所以  $P$  和  $Q$  上  $u \rightarrow u_1$  的片断也都是短程线，故有相同的长度，从而  $P$  上  $u_1 \rightarrow v$  的片断  $P_1$  与  $Q$  上  $u_1 \rightarrow w$  的片断  $Q_1$  又相同的奇偶性，由此知道  $v$  到  $w$  的道路  $P_1^{-1}Q_1$  是偶路。若  $v$  和  $w$  相邻，则  $P_1^{-1}Q_1(w, v)$  是一条奇回路，与题设矛盾。同理， $V_2$  中任意两结点都不相邻。

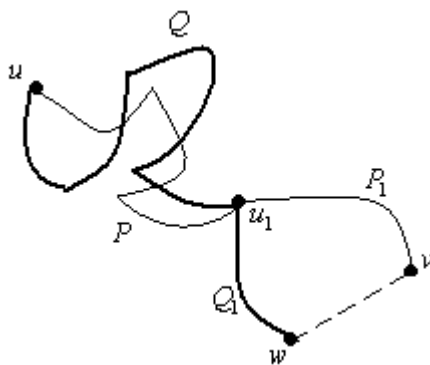


图 2.7

下面讨论有向图的连通问题。

**定义 1.6** 在有向图  $D$  中，若从结点  $u$  到结点  $v$  存在一条有向路径，则称  $u$  可达  $v$ ，记作  $u \rightarrow v$ ；对  $D$  中任意结点  $u$ ，约定  $u \rightarrow u$ 。若  $D$  的任意两结点都互相可达，则称  $D$  是强连通图（双向连通图）；若对  $D$  中任意两结点  $u, v$ ，都有  $u \rightarrow v$  或  $v \rightarrow u$ ，则称  $D$  是单连通图；若  $D$  的基图是连通图，则称  $D$  是弱连通图。

注 1：强连通  $\Rightarrow$  单连通  $\Rightarrow$  弱连通；

2：可类似定义强连通分支，但有向图的每一条边不一定都在某强连通分支中。

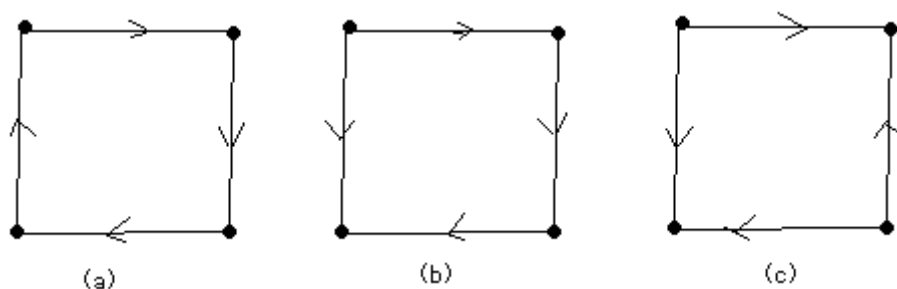


图 2.8

例 1.7 图 2.8 中, (a)强连通, (b)单连通, (c)弱连通。

**定理 2.2** 设  $D$  是有向图,  $D$  是强连通图当且仅当  $D$  中存在一条闭路径包含  $D$  的所有结点;  $D$  是单连通图当且仅当  $D$  中存在一条路径包含  $D$  的所有结点。

**证明:** 仅证明第二个命题中的必要性。设  $D$  是单连通图, 对  $v_1, v_2$ , 必有  $v_1 \rightarrow v_2$  或  $v_2 \rightarrow v_1$ , 不妨设  $v_1 \rightarrow v_2$ 。再来考察  $v_3$ , 则下面三者必有其一成立: (1)  $v_3 \rightarrow v_1$ , (2)  $v_1 \rightarrow v_3 \rightarrow v_2$ , (3)  $v_2 \rightarrow v_3$ , 为表示简单, 不妨设 (3) 成立, 于是有  $v_1 \rightarrow v_2 \rightarrow v_3$ 。一般地, 假设  $D$  的前  $k$  ( $2 \leq k < n$ ) 个结点满足:  $v_{i_1} \rightarrow v_{i_2} \rightarrow \cdots \rightarrow v_{i_k}$  的情况下, 则对结点  $v_{k+1}$  来说, 有下列三种情形必有其一成立: (1)  $v_{k+1} \rightarrow v_{i_1}$ ; (2) 存在  $1 \leq j < k$ , 使得  $v_{i_j} \rightarrow v_{k+1} \rightarrow v_{i_{j+1}}$ ; (3)  $v_{i_k} \rightarrow v_{k+1}$ 。无论何种情形成立, 总存在前  $k+1$  个结点的一种排列:  $v_{l_1}, \cdots, v_{l_{k+1}}$ , 使得  $v_{l_1} \rightarrow v_{l_2} \rightarrow \cdots \rightarrow v_{l_{k+1}}$ 。

## 作业

1. 证明: 无向图  $G$  和  $\bar{G}$  至少有一个是连通图。
2. 设  $D$  是有向图, 若  $\delta^+(D) \geq 1$ , 则  $D$  中必含有向回路。
3. 设  $G$  是  $n$  ( $n \geq 2$ ) 无向图, 则存在  $G$  的支撑二部子图  $H$  满足

$$d_H(v) \geq \frac{1}{2} d_G(v), \quad \forall v \in V(G).$$

4. 在无向简单图  $G$  中, 若  $n \geq 4$  且  $m \geq 2n - 3$ , 则  $G$  中必含有带弦的回路。
5. 无向连通图中任意两条最长道路必有公共结点。
6. 设  $G$  是不含三角形的无向简单图, 证明:

$$\text{a. } \sum_{i=1}^n d^2(v_i) \leq mn;$$

$$\text{b. } m \leq \frac{n^2}{4}.$$

7. 完全图  $K_n$  ( $n \geq 3$ ) 的所有边都赋以整数权, 证明:  $K_n$  的每个回路的权都是偶数当且仅当  $K_n$  的所有奇数权边诱导出一个空图或支撑完全二部图。

那么给定图  $G$  后, 如何判定两结点间是否存在道路, 进而判定  $G$  的连通性呢?

两种方法: 1. 代数方法; 2. 搜索法。

### 1. 代数法

对于图  $G$ , 可定义其路径矩阵  $P = (p_{i,j})_{n \times n}$  来表示任意两结点间是否存在道路,  $p_{i,j}$  定义如下

$$p_{i,j} = \begin{cases} 1, & \text{if } v_i \rightarrow v_j \\ 0, & \text{otherwise} \end{cases}.$$

约定:  $p_{i,i} = 1$  当且仅当存在从  $v_i$  到  $v_i$  的闭路径。

由  $G$  的邻接矩阵  $A = (a_{i,j})_{n \times n}$  可计算得到  $G$  的路径矩阵  $P$ , 下面来说明这一点。

我们先对矩阵运算做几点注解:

(a). 称 0 和 1 为布尔数, 对布尔数可定义布尔和与布尔积运算:

$$\text{布尔和: } a \vee b = \begin{cases} 1, & a = 1 \text{ or } b = 1 \\ 0, & \text{otherwise} \end{cases}$$

$$\text{布尔积: } a \wedge b = \begin{cases} 1, & a = 1 \text{ and } b = 1 \\ 0, & \text{otherwise} \end{cases}$$

满足

$$(1) \text{ 交换律: } a \vee b = b \vee a, \quad a \wedge b = b \wedge a;$$

$$(2) \text{ 结合律: } (a \vee b) \vee c = a \vee (b \vee c), \quad (a \wedge b) \wedge c = a \wedge (b \wedge c);$$

$$(3) \text{ 分配律: } a \vee (b \wedge c) = (a \vee b) \wedge (a \vee c), \quad a \wedge (b \vee c) = (a \wedge b) \vee (a \wedge c)$$

(b). 以布尔数为元素的矩阵称为布尔矩阵, 由布尔数的和  $\vee$  与积  $\wedge$  运算可定义布尔矩阵的



和 $\vee$ 与积 $\wedge$ 运算。同样满足交换律，结合律和分配律。

(c). 图 $G$ 的邻接矩阵和路径矩阵都是布尔矩阵。

图 $G$ 的邻接矩阵 $A$ 和路径矩阵 $P$ 有如下关系。

$$\text{定理 1.3} \quad P = A \vee A^2 \vee \cdots \vee A^n = \bigvee_{s=1}^n A^s, \quad (1.1)$$

其中 $A^s$ 是布尔积意义下的矩阵 $A$ 的 $s$ 次幂。

**证明:** 1. 我们知道，对于图 $G$ 的任意两个结点 $v_i, v_j$ ， $v_i$ 到 $v_j$ 存在路径 $\Leftrightarrow v_i$ 到 $v_j$ 存在长度不大于 $n$ 的道路。

2.  $(v_i, v_{i_1}, \cdots, v_{i_{s-1}}, v_j)$  ( $1 \leq s \leq n$ ) 是 $v_i$ 到 $v_j$ 的路径 $\Leftrightarrow a_{i,i_1} \wedge a_{i_1,i_2} \wedge \cdots \wedge a_{i_{s-1},j} = 1$ 。

3.  $A^s$  ( $1 \leq s \leq n$ ) 中的 $(i, j)$ 元为

$$\bigvee_{1 \leq i_1, \cdots, i_{s-1} \leq n} (a_{i,i_1} \wedge a_{i_1,i_2} \wedge \cdots \wedge a_{i_{s-1},j})。$$

所以， $v_i$ 到 $v_j$ 存在长度为 $s$ 的路径 $\Leftrightarrow A^s$ 的 $(i, j)$ 元为1。

4.  $p_{i,j} = 1 \Leftrightarrow$  存在 $s$ ， $1 \leq s \leq n$ ，使得 $v_i$ 到 $v_j$ 存在长度为 $s$ 的路径 $\Leftrightarrow$ 存在 $s$ ，

$1 \leq s \leq n$ ，使得 $A^s$ 的 $(i, j)$ 元为1 $\Leftrightarrow \bigvee_{s=1}^n A^s$ 的 $(i, j)$ 元为1。

利用式 (1.1) 直接计算路径矩阵，计算复杂度为 $O(n^4)$ 。下面介绍 Warshall 算法，它可将计算复杂度降低为 $O(n^3)$ 。

Warshall 算法描述如下：

Begin

1.  $P \leftarrow A$  //初始化//
2. for  $k = 1$  to  $n$  do // 外循环//
3. for  $i = 1$  to  $n$  do // 内循环//
- for  $j = 1$  to  $n$  do

$$P_{i,j} \leftarrow P_{i,j} \vee (P_{i,k} \wedge P_{k,j})$$

End

**定理 1.4** Warshall 算法的结果是图  $G$  的路径矩阵。

**证明：** 仅需对外循环指标  $k$  进行归纳（内循环的归纳原因与外循环相似）。当  $P$  被初始化，尚未进入循环前， $P_{i,j} = 1 \Leftrightarrow (v_i, v_j) \in E(G)$ ，执行  $k = 1$  的内循环后， $P_{i,j} = 1 \Leftrightarrow$  结点集  $\{v_i, v_1, v_j\}$  的导出子图中存在从  $v_i$  到  $v_j$  的路径。假设执行  $k = k_0$  ( $1 \leq k_0 < n$ ) 时的内循环后， $P_{i,j} = 1 \Leftrightarrow$  结点集  $\{v_i, v_1, \dots, v_{k_0}, v_j\}$  的导出子图中存在从  $v_i$  到  $v_j$  的路径，则当执行  $k = k_0 + 1$  时的内循环后， $P_{i,j} = 1 \Leftrightarrow$  结点集  $\{v_i, v_1, \dots, v_{k_0}, v_{k_0+1}, v_j\}$  的导出子图中存在从  $v_i$  到  $v_j$  的路径。于是最终当执行  $k = n$  时的内循环后， $P_{i,j} = 1 \Leftrightarrow$  结点集  $\{v_i, v_1, \dots, v_n, v_j\}$  的导出子图（即  $G$ ）中存在从  $v_i$  到  $v_j$  的路径。

注：无向图  $G$  连通  $\Leftrightarrow P_{i,j} = 1$  ( $i \neq j$ )；有向图  $D$  强连通  $\Leftrightarrow P_{i,j} = 1$ ， $D$  单连通  $\Leftrightarrow P_{i,j} = 1$  或  $P_{j,i} = 1$  ( $i < j$ )。

## 2. 搜索法

搜索法的原理：从  $G$  中的某一结点出发，寻找所有与其连通（或其能到达）的结点集。

常用的搜索法有：深度有限检索法(Depth First Search)，宽度有限检索法（Breadth First Search）。

对图进行搜索时，常采用邻接矩阵或正向邻接表来表示图。

详细描述请见有关“数据结构”的书籍。

### § 2.2 最短道路

本节讨论赋权图  $G = (V, E, w)$  的最优化问题之一：任意两结点间最短路径问题。

若  $H$  是赋权图  $G$  的一个子图，则  $H$  的权  $w(H)$  是指  $H$  的各边权和。

$$w(H) = \sum_{e \in E(H)} w(e)。$$

赋权图的一些最优化问题是，要在某类子图中找出具有最小（或最大）权的子图。其中一个典型的例子是最短路径问题：给定一个连接各城镇的铁路网络，在这个网络的两个指定城镇之间要确定一条最短路线，即要在一个赋权图的两个指定结点之间找出一条具有最小权的道路。

就涉及最短路径问题的实际背景问题来讲，只需考虑简单正权图就够了。当  $(u, v) \notin E(G)$  时，约定  $w(u, v) = +\infty$ （进行具体计算时，往往用一足够大的数来替代  $+\infty$ ）。为称谓方便起见，把赋权图中一条路径的权称为路径的长度。结点  $u$  到  $v$  之间的最短路径的长度称为  $u$  到  $v$  的距离，并记为  $d(u, v)$ 。（ $d(u, v) = d(v, u)$  一般不成立）。

下面介绍的求最短路的算法是 Dijkstra 于 1959 年发现的。该算法给出了图  $G$  中某结点  $u_0$  到所有其他结点的最短路。

Dijkstra 算法建立在下述事实上：假设  $S$  是  $V$  的真子集且  $u_0 \in S$ ，并以  $\bar{S}$  记  $V - S$ ，若  $u_0$  到  $\bar{S}$  中某结点  $u$  的最短路径  $P = u_0 v_1 \cdots v_i u$  是  $u_0$  到  $\bar{S}$  的最短路，则显然有

$$(1) \quad v_1, \cdots, v_i \in S, \quad u \in \bar{S},$$

$$(2) \quad u_0 v_1 \cdots v_i \text{ 是 } u_0 \text{ 到 } v_i \text{ 的最短路。}$$

所以，

$$d(u_0, u) = d(u_0, v_i) + w(v_i, u), \quad (2.1)$$

从而，从  $u_0$  到  $\bar{S}$  的距离由下列公式给出

$$d(u_0, \bar{S}) = \min_{v \in S, \bar{u} \in \bar{S}} (d(u_0, v) + w(v, \bar{u})) = \min_{\bar{u} \in \bar{S}} \min_{v \in S} (d(u_0, v) + w(v, \bar{u}))$$

记

$$l(\bar{u}) = \min_{v \in S} (d(u_0, v) + w(v, \bar{u})), \quad \forall \bar{u} \in \bar{S}, \quad (2.2)$$

则

$$d(u_0, \bar{S}) = \min_{\bar{u} \in \bar{S}} l(\bar{u}) = l(u), \quad (2.3)$$

$$d(u_0, u) = l(u) \quad (2.4)$$

式(2.3), (2.4)正是 Dijkstra 算法的基础。从结点集  $S_0 = \{u_0\}$  开始，用下述方法构造一个由  $V$

的子集组成的递增序列：  $S_0, S_1, \dots, S_{n-1}$ ，使得

$$S_i = S_{i-1} \cup \{u_i\}, \quad 1 \leq i \leq n-1$$

其中  $u_i$  满足：

$$d(u_0, u_i) = l(u_i) = \min_{\bar{u} \in S_{i-1}} l(\bar{u})$$

显然，  $S_{n-1} = V$ 。此过程逐一得到了  $u_0$  到其他结点的距离。

Dijkstra 算法可描述如下：

数组  $l$  表示距离：  $l(v)$  存放  $u_0$  到结点  $v$  的距离；数组  $Q$  表示最短路径：  $Q(v)$  存放  $u_0$  到结点  $v$  的最短路径上  $v$  的直接前趋。

Step 1: (初始化) 置  $l(u_0) = 0$ ,  $Q(u_0) = u_0$ ,  $sum = 1$ ; 置  $\bar{S} = V - \{u_0\}$ , 且对任意  $\bar{u} \in \bar{S}$ , 置  $l(\bar{u}) = w(u_0, \bar{u})$ ,  $Q(\bar{u}) = u_0$ 。

Step 2: 找出  $u \in \bar{S}$ , 使得  $l(u) = \min_{\bar{u} \in \bar{S}} l(\bar{u})$ 。置  $\bar{S} = \bar{S} - \{u\}$ ,  $sum = sum + 1$ 。

若  $sum = n$ , 则结束；否则，转 Step 3。

Step 3: 对任意  $\bar{u} \in \bar{S} \cap N^+(u)$  (在无向图中,  $\bar{u} \in \bar{S} \cap N(u)$ ),

若  $l(u) + w(u, \bar{u}) < l(\bar{u})$ , 则  $l(\bar{u}) = l(u) + w(u, \bar{u})$ ,  $Q(\bar{u}) = u$ 。

转 Step 2。

Dijkstra 算法的计算复杂度为  $O(n^2) + O(m)$ 。

**例 2.1** 图 2.9 所示有向图中，求  $v_1$  到其他结点的最短路径。

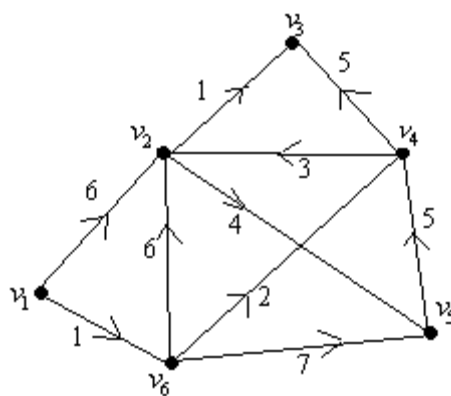


图 2.9

解: Step 1: 初始,  $l(1) = 0$ ,  $Q(1) = 1$ ,  $sum = 1$ ;  $\bar{S} = \{2, 3, 4, 5, 6\}$ ,  $l(2) = 6$ ,  $l(6) = 1$ ,

$l(3) = l(4) = l(5) = +\infty$ ,  $Q(2) = Q(3) = Q(4) = Q(5) = Q(6) = 1$ ;

Step2:  $l(6) = \min_{i \in \bar{S}} l(i)$ ,  $u = 6$ ,  $\bar{S} = \{2, 3, 4, 5\}$ ,  $sum = 2$ ;

Step3:  $l(4) = 1 + 2 = 3$ ,  $Q(4) = 6$ ,  $l(5) = 1 + 7 = 8$ ,  $Q(5) = 6$ ;

Step2:  $l(4) = \min_{i \in \bar{S}} l(i)$ ,  $u = 4$ ,  $\bar{S} = \{2, 3, 5\}$ ,  $sum = 3$ ;

Step3:  $l(3) = 3 + 5 = 8$ ,  $Q(3) = 4$ ;

Step2:  $l(2) = \min_{i \in \bar{S}} l(i)$ ,  $u = 2$ ,  $\bar{S} = \{3, 5\}$ ,  $sum = 4$ ;

Step3:  $l(3) = 6 + 1 = 7$ ,  $Q(3) = 2$ ;

Step2:  $l(3) = \min_{i \in \bar{S}} l(i)$ ,  $u = 3$ ,  $\bar{S} = \{5\}$ ,  $sum = 5$ ;

Step3:

Step2:  $l(5) = \min_{i \in \bar{S}} l(i)$ ,  $u = 5$ ,  $\bar{S} = \emptyset$ ,  $sum = 6$ ;

总之:  $l(1) = 0$ ,  $l(2) = 6$ ,  $l(3) = 7$ ,  $l(4) = 3$ ,  $l(5) = 8$ ,  $l(6) = 1$ ;

$Q(1) = 1$ ,  $Q(2) = 1$ ,  $Q(3) = 2$ ,  $Q(4) = 6$ ,  $Q(5) = 6$ ,  $Q(6) = 1$ ,

当边权可取负值, 但不存在负长的回路时, 有 Ford 算法来解决某固定结点到其他结点的最短路问题; 而对这样的赋权图, 求任意两结点间最短路的著名算法为 Warshall-Floyd 算法。

Warshall-Floyd 算法描述如下:

Step 1 (初始化)  $n$  阶方阵  $D = (d(i, j))_{n \times n}$ , 其中元素

$$d(i, j) = \begin{cases} w(i, j), & (i, j) \in E(G) \\ 0, & i = j \\ +\infty, & (i, j) \notin E(G) \end{cases};$$

$n$  阶方阵  $P = (p(i, j))_{n \times n}$ , 其中元素  $p(i, j) = i$ ; 置  $k = 0$ 。

Step2  $k = k + 1$ ;  $d(i, j) = \min(d(i, j), d(i, k) + d(k, j))$ , 若取后面的值, 则置  $p(i, j) = p(k, j)$ 。

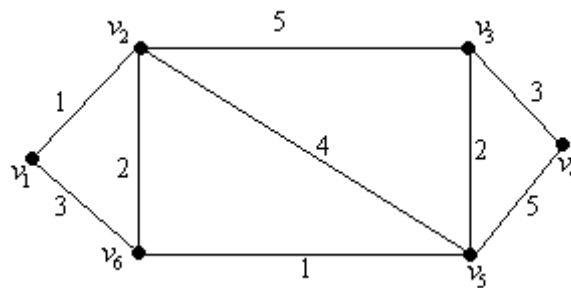
Step3 若  $k = n$ , 则结束; 否则转 Step2。

$d(i, j)$  表示  $i$  到  $j$  的距离, 而  $p(i, j)$  表示  $i$  到  $j$  的最短路程上  $j$  的直接前趋。

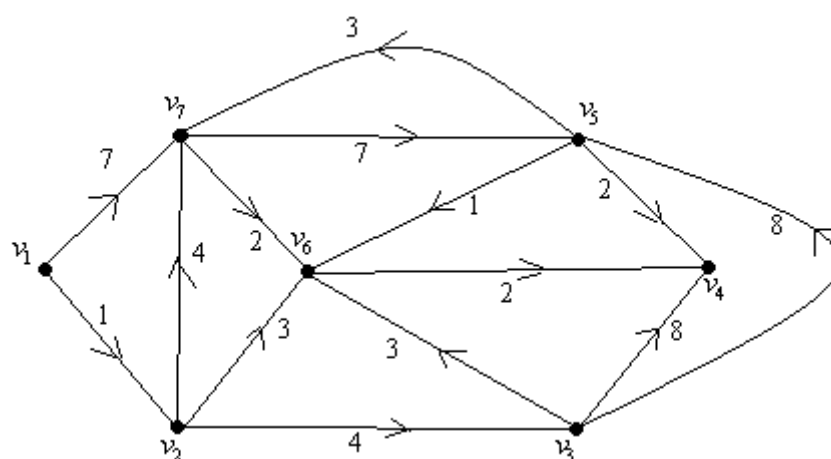
该算法类似于 Warshall 算法, 计算复杂度为  $O(n^3)$ 。

## 作业

1. 证明: Warshall-Floyd 算法的正确性。
2. 求下面赋权图中结点  $v_1$  到其它各结点的最短路径。



3. 求下面赋权图中结点  $v_1$  到其它各结点的最短路径。



## § 2.3 欧拉图

欧拉图得名于欧拉 1736 年发表的图论的第一篇论文“哥尼斯堡七桥问题”，哥尼斯堡 (Königsberg) (现在的加里宁格勒) 位于立陶宛的普雷格尔 (Pregel) 河畔，当时的哥尼斯堡城被横贯全市的普雷格尔河分成四个部分，这四个部分由七座桥连接起来。如图 2.10(a)所示。

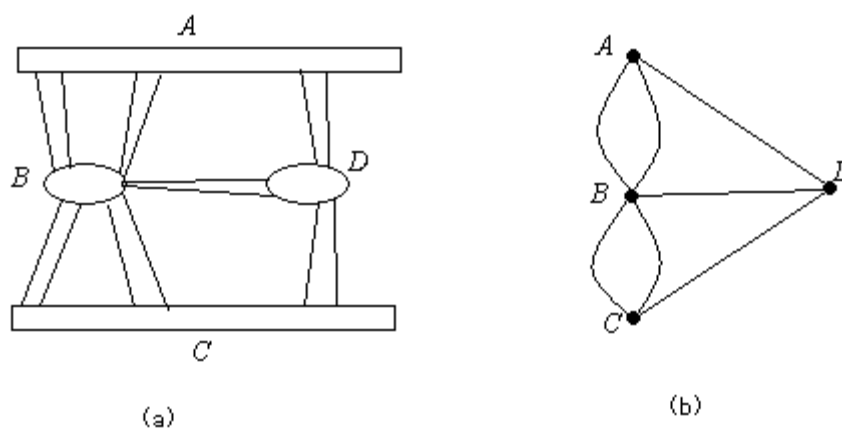


图 2.10

1727 年欧拉的朋友向欧拉提出一个问题：一个散步者是否可能从城市的某一地方出发通过每座桥一次且仅一次后又回到原地？欧拉的文章漂亮地解决了这个问题。他把 4 块陆地设想为 4 个结点，而将桥画成相应地边，如图 2.10(b)所示。欧拉对七桥问题做出了否定的回答，并给出了解决这类问题的准则。本节将介绍这一准则。

**定义 3.1** 若无向连通图  $G$  中有一条包含  $G$  中所有边的闭链，则称此闭链为欧拉闭链（简称欧拉链），称  $G$  为欧拉图。若  $G$  中有一条包含  $G$  中所有边的开链（即起、终点不相同），则称此开链为欧拉开链，称  $G$  为半欧拉图。

**定理 3.1** 无向连通图  $G$  是欧拉图的充要条件是  $G$  中各结点都是偶结点。

**证明：**必要性：如果  $G$  是欧拉图，即  $G$  中有欧拉链  $C$ 。对  $G$  中任意结点  $v$  来说，如果  $C$  经由边  $e_i$  进入  $v$ ，则一定通过另一边  $e_j$  离开  $v$ （如果  $v$  有自环  $e_k$ ，则  $C$  经由  $e_k$  进入  $v$ ，又经由  $e_k$  离开  $v$ ），即  $C$  每一次穿越  $v$ ，对  $v$  的度的贡献为 2，因此， $v$  是偶结点。

充分性：取定  $G$  的一个结点  $v_0$ ，设以  $v_0$  为起点的最长的链为  $C$ 。断言： $C$  是欧拉链。

首先来说明： $C$  是闭链。因为沿着  $C$  行走到任何非  $v_0$  的结点  $u$  处时，因为  $u$  的度为偶数，所以必然可以选择未曾走过的边继续往前走，只有走到  $v_0$  处时，才有可能无新边可走，停下来。故  $C$  是闭链。再来说明， $G$  的所有边都在  $C$  上。否则， $C$  上必有某结点  $u$ ，使得与  $u$  关联的边不全在  $C$  上，则从  $u$  出发可得到一个与  $C$  边不重的闭链  $C_1$ 。两闭链  $C$  与  $C_1$  可合并(如图 2.11 所示)成一个更长的闭链，与  $C$  的最长性矛盾。所以  $G$  的所有边都在  $C$  上。

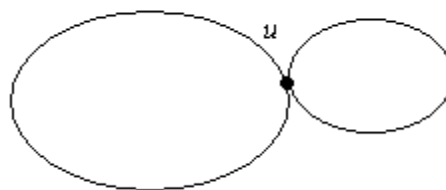


图 2.11

定理 3.1 给出了欧拉图的判别准则。

**推论 3.1** 无向连通图  $G$  是半欧拉图的充要条件是  $G$  中恰有两个奇结点。

**证明：**充分性：设  $G$  的两个奇结点为  $u$  和  $v$ ，作  $G' = G + (u, v)$ ，则  $G'$  的各结点都是偶结点。由定理 3.1 知， $G'$  有欧拉链，从该欧拉链上删去边  $(u, v)$ ，则得到一条开链，恰好由  $G$  的所有边组成。必要性同理可得。

**推论 3.2** 设  $D$  是有向弱连通图，则  $D$  存在有向欧拉闭链的充要条件是  $D$  中各结点的正度和负度相等。此时，称  $D$  为有向欧拉图。

**例 3.1** 七桥图既不存在欧拉闭链也不存在欧拉开链。



**例 3.2** 设无向连通图  $G$  有  $k$  ( $k > 0$ ) 个奇结点, 则  $E(G)$  可划分成  $\frac{k}{2}$  条开链。

证明: 将  $G$  的  $k$  个结点 ( $k$  是偶数) 捉对连线, 得到图  $G'$ , 则  $G'$  是欧拉图, 有欧拉链  $C'$ 。

新加的  $\frac{k}{2}$  条边在  $C'$  上不想邻接, 所以从  $C'$  上删去这些边, 则得到  $\frac{k}{2}$  条开链, 它们正是

$E(G)$  的一个划分。

**例 3.3** 一个编码盘分成 8 个相等的扇面, 分别由绝缘体和导体组成, 可表示 0 和 1 两种状态, 其中每连续的三个扇面组成一个二进制输出, 试问这 8 个 0 和 1 状态的循环序列应如何排列, 才恰好能得到所有 (8 个) 三位二进制输出?

解: 分析: 假设  $a_1 a_2 \cdots a_8$  是满足要求的一种循环序列, 考虑到相邻的两个二进制输出

$a_i a_{i+1} a_{i+2}$  和  $a_{i+1} a_{i+2} a_{i+3}$  的特点, 可将  $a_i a_{i+1} a_{i+2}$  看作进入结点  $a_{i+1} a_{i+2}$  的有向边, 将

$a_{i+1} a_{i+2} a_{i+3}$  看作离开结点  $a_{i+1} a_{i+2}$  的有向边, 则循环序列  $a_1 a_2 \cdots a_8$  确定 8 个三位二进制

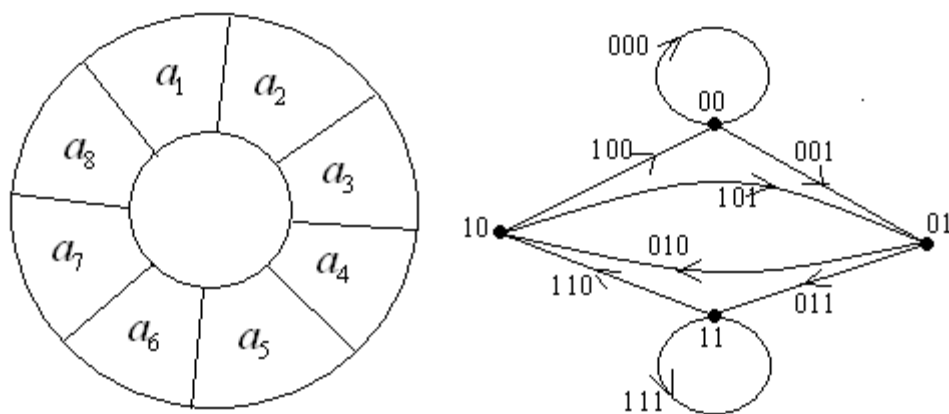


图 2.12

输出可由如下有向闭链:

$$a_1 a_2 \xrightarrow{a_1 a_2 a_3} a_2 a_3 \xrightarrow{a_2 a_3 a_4} a_3 a_4 \xrightarrow{a_3 a_4 a_5} \cdots \xrightarrow{a_7 a_8 a_1} a_8 a_1 \xrightarrow{a_8 a_1 a_2} a_1 a_2$$

所表示, 其上共 4 个结点 (00, 01, 10, 11) 和 8 条边, 形成一个有向欧拉图。反过来, 我们只要得到此有向欧拉图, 相应的一条有向欧拉闭链即可以确定所求循环序列  $a_1 a_2 \cdots a_8$ 。如图 2.12 所示。得到一解: 11100010

注 1: 此问题的一般结论是: 存在一个由  $2^n$  个二进制数组成的循环序列, 使得  $2^n$  个由  $n$  个

连续的二进制数组成的输出全不相同。这样的循环序列通常称为笛波滤恩 (DeBruijn) 序列, 对应构造的有向欧拉图称为笛波滤恩图, 记作  $G_{2,n}$ 。

注 2: 更一般地, 设  $\Sigma = \{0, 1, \dots, \sigma - 1\}$  ( $\sigma \geq 2$ ) 是字母表,  $\Sigma$  上长度为  $n$  的不同字共有  $\sigma^n$  个。笛波滤恩序列是  $\Sigma$  上的循环序列  $a_0 a_1 \cdots a_L$  ( $L = \sigma^n$ ), 对每一个长度为  $n$  的字  $w$ , 存在唯一的  $i$  ( $0 \leq i \leq L-1$ ), 使得  $a_i a_{i+1} \cdots a_{i+n-1} = w$  (其中下标按模  $L$  计算)。可以证明: 对任意两个正整数  $\sigma \geq 2$ ,  $n \geq 2$ , 都存在笛波滤恩序列。类似前述, 对应构造的笛波滤恩图记为  $G_{\sigma,n}$ 。

**例 3.4** (两只蚂蚁比赛问题) 两只蚂蚁甲, 乙分别在图 2-13 的结点  $a$ ,  $b$  处, 设图中各边长度相等, 甲提出同乙比赛, 各自从它们所处结点出发, 走过图中所有边最后到达结点  $c$ 。如果它们行走的速度相同, 问谁更有机会获胜?

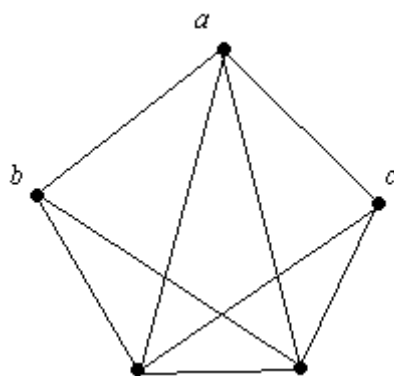


图 2.13

**解:** 图 2.13 中, 有两个奇结点  $b$ ,  $c$ , 因而存在从  $b$  到  $c$  的欧拉开链。蚂蚁乙只要沿着这条开链走即到不重复地走过图中所有边而到达目的地  $c$ ; 而蚂蚁甲要走过图中所有边最后到达结点  $c$ , 至少得重复走一条边。所以蚂蚁乙更有可能获胜。

## § 2.4 哈密顿图

1859 年, 威廉·哈密顿爵士 (Sir William Hamilton) 给出一个关于凸十二面体的数学游戏: 他把十二面体的 20 个顶点比作 20 个城市, 30 条棱表示这些城市之间的交通路线, 如图 2.14 所示。哈密顿提出: 能否周游此世界? 即能否从某个城市出发, 不重复地经过其他城市, 又回到出发地? 答案是肯定的。图 2.14 箭头指示的道路就是一种实现方案。

对于任何连通图, 都可以提出这个问题。

**定义 4.1** 无向图  $G$  的一条过全部结点的回路 (道路) 称为  $G$  的哈密顿回路 (道路)。简记为  $H$  回路 (道路); 包含  $H$  回路 (道路) 的图称为哈密顿图 (半哈密顿图), 简称  $H$  图 (半  $H$  图)。

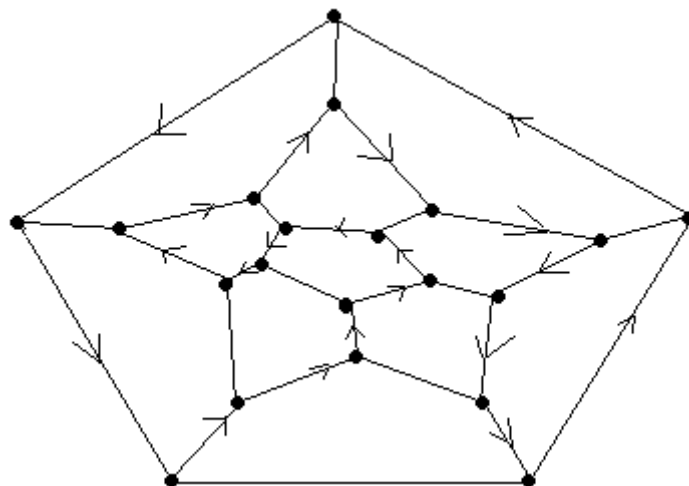


图 2.14

注 1: 哈密顿图 (半哈密顿图) 是连通图。

注 2: 因为回路或道路中不包含自环和重边, 所以对于无向图  $G$  来说, 删去它的自环和重边, 对于它是否包含  $H$  回路 (道路) 没有影响, 所以本节限于讨论简单图, 且设  $n \geq 3$ 。

例 4.1 完全图  $K_n$  ( $n \geq 3$ ) 是  $H$  图。

迄今并无判断一个图是否是  $H$  图的准则, 只有某些关于图是  $H$  图的充分条件或必要条件。

定理 4.1 若无向图  $G$  是  $H$  图, 则对于结点集  $V(G)$  的每个非空真子集,  $X$  均有

$$\kappa(G - X) \leq |X| \quad (4.1)$$

证明: 设  $C$  是  $G$  的一个  $H$  回路, 因为  $\kappa(G - X) \leq \kappa(C - X)$ , 所以只需证,  $\kappa(C - X) \leq |X|$ 。对  $|X|$  施行归纳, 当  $|X| = 1$  时,  $C - X$  是一条道路,  $\kappa(C - X) = 1 = |X|$ ; 假设当  $|X| < r$  ( $2 \leq r < n$ ) 时,  $\kappa(C - X) \leq |X|$ , 且  $C - X$  的每个连通分支是一条道路, 当  $|X| = r$  时, 取  $v_0 \in X$ , 则  $C - X \leq (C - (X - v_0)) - v_0$ , 从而  $\kappa(C - X) \leq \kappa(C - (X - v_0)) + 1 \leq |X| - 1 + 1 = |X|$ , 且  $C - X$  的每个连通分支是一条道路。

例 4.2 图 2.15 不是哈密顿图, 因  $\kappa(G - v) = 2 > |v|$ 。

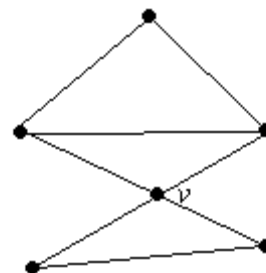


图 2.15

**例 4.3** 图 2.16 所示的彼得森 (Petersen) 图, 满足(4.1), 但它不是  $H$  图, 说明(4.1)不是  $H$  图的充分条件。

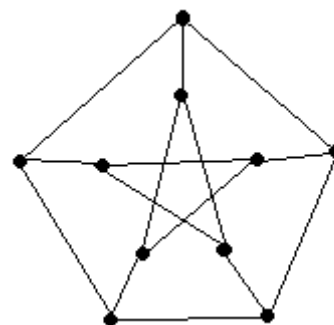


图 2.16

我们下面给出  $H$  图的一个充分条件。

**引理 4.1** 对于无向简单图  $G$  中的任意一条极长道路  $P = v_1 \cdots v_l$  ( $l \geq 3$ ), 若  $d(v_1) + d(v_l) > l - 1$ , 则  $G$  中存在回路  $C$ , 使得  $V(C) = V(P)$ 。

**证明:** 因为  $P$  是极长道路, 所以  $v_1$  和  $v_l$  的邻点都在  $P$  上, 即  $N(v_1) \subseteq \{v_s : 2 \leq s \leq l\}$ ,  $N(v_l) \subseteq \{v_{s-1} : 2 \leq s \leq l\}$ 。

若  $d(v_1) + d(v_l) > l - 1$ , 则存在  $s$ ,  $2 \leq s \leq l$ , 使得  $v_s \in N(v_1)$  和  $v_{s-1} \in N(v_l)$ 。

如图 2.17 所示, 结果得到一个回路  $C$ , 满足  $V(C) = V(P)$ 。

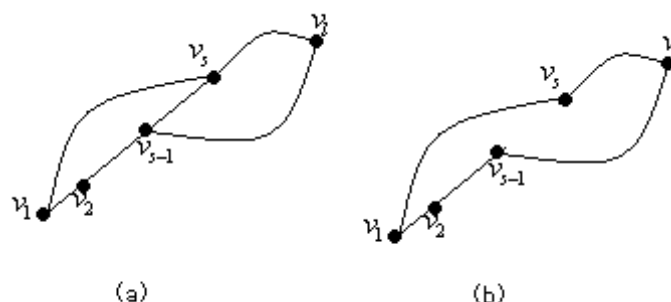


图 2.17

**定理 4.2** 如果简单图  $G$  的任意两不同结点  $u, v$  均满足:  $d(u) + d(v) \geq n - 1$ , 则  $G$  中存在哈密顿道路。

**证明:** 先证  $G$  是连通图。若  $G$  不是连通图, 则存在不连通的两个不同结点  $u$  和  $v$ , 显然  $u$  和  $v$  互不相邻且没有共同邻点, 从而  $d(u) + d(v) \leq n - 2$ , 这与题设矛盾。下面证  $G$  中

存在  $H$  道路。设  $P = v_1 \cdots v_l$  是  $G$  中的一条最长道路, 若  $l < n$ , 因为  $d(v_1) + d(v_l)$

$\geq n - 1 > l - 1$ , 由引理 4.1 得,  $G$  中存在回路  $C$ , 使得  $V(C) = V(P)$ 。不妨设

$c = v_1 \cdots v_p v_1$ 。又因为  $G$  是连通图, 所以存在  $C$  外某结点  $u$  与  $C$  上某结点  $v_k$  相邻,

如图 2.18 所示, 从而得到比  $P$  更长的一条道路, 这与  $P$  的最长性矛盾。

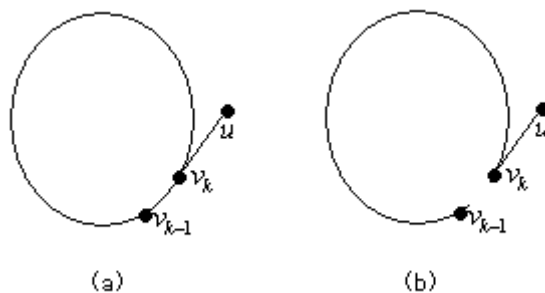


图 2.18

**例 4.4** 设  $n$  ( $n \geq 3$ ) 个人中, 任何两个人合在一起都认识其余  $n-2$  个人, 证明这  $n$  个人可以排成一队, 使相邻者都互相认识。

**证明:** 每个人用一个结点表示, 若两人相互认识则对应的两结点间画一条无向边, 如此形成一个无向简单图  $G$ 。问题转化为证明  $G$  中存在  $H$  道路。对任何一个人  $v$  来说,  $v$  不认识的人数至多为 1, 否则, 设  $u_1$  和  $u_2$  是  $v$  不认识的两人, 结果  $u_1$  和  $u_2$  合在一起不认识  $v$ , 这与题设矛盾。所以,  $\delta(G) \geq n-2$ , 从而对  $G$  中任意两个不同结点  $u, v$ , 有  $d(u) + d(v) \geq 2n-4 \geq n+3-4 = n-1$ 。由定理 4.2 知,  $G$  中存在  $H$  道路。

**推论 4.1** 如果简单图  $G$  的任意两不同结点  $u, v$  均满足:  $d(u) + d(v) \geq n$ , 则  $G$  中存在哈密顿回路。

**证明:** 对哈密顿道路应用引理 4.1。

**推论 4.2** 如果简单图  $G$  满足:  $\delta(G) \geq \frac{n}{2}$ , 则  $G$  是哈密顿图。

下面介绍一个更强的哈密顿图的存在定理。

**引理 4.2** 设  $G$  是无向简单图,  $u, v$  是  $G$  的不相邻结点, 且满足:  $d(u) + d(v) \geq n$ , 则  $G$  是  $H$  图的充要条件是:  $G + (u, v)$  是  $H$  图。

**证明:** 必要性显然。来证充分性: 不妨设  $G + (u, v)$  的  $H$  回路经过边  $(u, v)$ , 删掉  $(u, v)$  即得到  $G$  中的一条以  $u, v$  为端点的  $H$  道路, 又因为  $d(u) + d(v) \geq n$ , 由引理 4.1 知,  $G$  中存在  $H$  回路, 即  $G$  是  $H$  图。

**定义 4.2** 对无向简单图  $G$ ，令  $G_0 = G$ ，再令  $G_1 = G_0 + (u_0, v_0)$ ， $\dots$ ， $G_{i+1} = G_i + (u_i, v_i)$ ， $\dots$ ，其中  $u_i, v_i$  是无向简单图  $G_i$  中的不相邻结点，且满足  $d_{G_i}(u_i) + d_{G_i}(v_i) \geq n$ ，直至存在  $k$  ( $0 \leq k < \frac{1}{2}n(n-1)$ )，使得  $G_k$  中不存在两不相邻结点  $u, v$  满足  $d(u) + d(v) \geq n$ 。 $G_k$  称为  $G$  的闭合图，记作  $C(G)$ 。

**引理 4.3** 无向简单图  $G$  的闭合图  $C(G)$  是唯一的，即与定义 4.2 中如何往  $G$  中添加边的操作过程无关。

**证明：** 设  $C_1(G)$  和  $C_2(G)$  是  $G$  的两个闭合图，生成  $C_1(G)$  和  $C_2(G)$  的过程中往  $G$  中添加的边集分别是  $E_1$ ， $E_2$ ，来证  $E_1 = E_2$ 。否则，必有  $E_1 \not\subseteq E_2$  或  $E_2 \not\subseteq E_1$ ，不妨设为前者。设在形成  $C_1(G)$  的过程中， $E_1$  中的边被添加的顺序为  $e_1, \dots, e_r$ ， $e_i$  是其中第一条不属于  $E_2$  中的边，即  $e_1, \dots, e_{i-1} \in E_2$ ，但  $e_i \notin E_2$ 。设  $\tilde{G} = G + \{e_1, \dots, e_{i-1}\}$ ，则  $\tilde{G} \subset C_1(G)$ ， $\tilde{G} \subseteq C_2(G)$ 。由于构作  $C_1(G)$  的过程中，还需往  $\tilde{G}$  中添加边  $e_i = (u, v)$ ，所以  $d_{\tilde{G}}(u) + d_{\tilde{G}}(v) \geq n$ ，从而  $d_{C_2(G)}(u) + d_{C_2(G)}(v) \geq n$ ，这与  $(u, v) \notin C_2(G)$  和  $C_2(G)$  的闭合性矛盾。

**定理 4.3** 无向简单图  $G$  是  $H$  图  $\Leftrightarrow C(G)$  是  $H$  图。

**证明：** 设  $C(G) = G + \{e_1, \dots, e_r\}$ ，由引理 4.2 知， $G$  是  $H$  图  $\Leftrightarrow G + e_1$  是  $H$  图  $\Leftrightarrow G + e_1 + e_2$  是  $H$  图  $\Leftrightarrow \dots \Leftrightarrow G + e_1 + \dots + e_r$  是  $H$  图。

**例 4.5** 设  $G$  是无向简单图，若  $C(G)$  是完全图，则  $G$  是  $H$  图。

**例 4.6**  $2k+1$  阶  $k$  正则图必是  $H$  图。

**证明：** 留作思考题。

**例 4.7** 证明：图 2.19 所示的图中没有  $H$  回路。

**证明：** 经观察，图是二部图，结点数为 13，只有偶回路，所以不可能存在  $H$  回路。

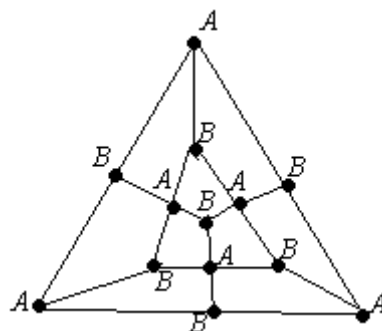


图 2.19

**例 4.8**  $k$  立方体 ( $k \geq 2$ ) 是哈密顿图。

**证明:** 我们知道,  $k$  立方体 ( $k \geq 2$ )  $Q_k = Q_{k-1} \times K_2$ ,  $Q_1 = K_2$ , 如果以 0 和 1 分别表示  $Q_1$  (即  $K_2$ ) 的两个结点, 则  $Q_2$  的 4 个结点可表示为: 00, 01, 10, 11,  $Q_2$  中的一条哈密顿回路为 (00)(01)(11)(10)(00); 设  $Q_k$  ( $k \geq 2$ ) 中的  $2^k$  个结点可表示为:  $v_1, \dots, v_{2^k}$ , 其中  $v_i$  表示字母表  $\{0,1\}$  上的一个长度为  $k$  的字,  $Q_k$  的一条哈密顿回路为  $v_1 \cdots v_{2^k} v_1$ , 则  $Q_{k+1}$  的  $2^{k+1}$  个结点可表示为  $(v_1 0), \dots, (v_{2^k} 0), (v_1 1), \dots, (v_{2^k} 1)$ ,  $Q_{k+1}$  的一条哈密顿回路为  $(v_1 0) \cdots (v_{2^k-1} 0)(v_{2^k} 0)(v_{2^k} 1)(v_{2^k-1} 1) \cdots (v_1 1)(v_1 0)$ 。

**定义 4.3** 对于由  $2^n$  个字长为  $n$  的不同二进制数组成的循环序列, 如果每两个相邻的二进制数恰有一位数字不同, 则称该循环序列为格雷码 (Gray Code)。

每个格雷码对应着  $n$  立方体的一个哈密顿回路。

**定义 4.4** 若有向简单图  $D$  中每两个不同结点间恰有一条边, 则称  $D$  为竞赛图。

**定理 4.4** 任意竞赛图  $D$  ( $n \geq 2$ ) 必有  $H$  道路。

**证明:** 对  $D$  的阶  $n$  施行归纳。当  $n = 2$  时结论显然成立。假设当  $n = k$  ( $k \geq 2$ ) 时, 结论成立。则当  $n = k + 1$  时, 设  $V(D) = \{v_1, v_2, \dots, v_k, v_{k+1}\}$ ,  $v_{k+1}$  的内邻点集为  $N^-(v_{k+1}) = \{v_1, v_2, \dots, v_r\}$ , 外邻点集  $N^+(v_{k+1}) = \{v_{r+1}, v_{r+2}, \dots, v_k\}$ , 则由归纳假设知,  $D[N^-(v_{k+1})]$  和  $D[N^+(v_{k+1})]$  都有  $H$  道路, 不妨分别设为  $v_1 v_2 \cdots v_r$  和  $v_{r+1} v_{r+2} \cdots v_k$ 。则  $v_1 v_2 \cdots v_r v_{k+1} v_{r+1} v_{r+2} \cdots v_k$  是  $D$  的  $H$  道路。

**定理 4.5** 任何强连通的竞赛图  $D$  ( $n \geq 3$ ) 必是有向  $H$  图。

**证明:** 论证由下面两个事实组成。

其一:  $D$  中存在有向回路。这是因为,  $D$  是强连通图, 一条从  $v_1$  到  $v_n$  的路径和一条从  $v_n$  到  $v_1$  的路径可拼接成一个闭路径, 闭路径由若干个有向回路组成。

其二:  $D$  中若存在长度为  $k$  ( $3 \leq k < n - 1$ ) 的有向回路, 则必存在长度为  $k + 1$  的有向

回路。不妨设长度为 $k$ 的有向回路为 $C = v_1 v_2 \cdots v_k v_1$ 。 $C$ 外的结点可分为两种情况：

(1)  $C$ 外存在某结点 $u$ ，使得 $C$ 上既有 $u$ 的内邻点又有 $u$ 的外邻点，此时存在 $C$ 上两连续结点 $v_r$ 和 $v_{r+1}$ ，使得 $v_r$ 是 $u$ 的内邻点，而 $v_{r+1}$ 是 $u$ 的外邻点，于是 $v_1 \cdots v_r u v_{r+1} \cdots v_k v_1$ 是 $D$ 中长度为 $k+1$ 的有向回路，如图 2.20(a)所示；

(2) 否则，对 $C$ 外任何结点来说 $v$ ，要么 $C$ 上的点全是 $v$ 的内邻点，要么 $C$ 上的点全是 $v$ 的外邻点，设 $V_1$ 是满足前者的结点构成的集合， $V_2$ 是满足后者的结点构成的集合。因为 $D$ 是强连通图，所以存在 $u \in V_1$ ， $w \in V_2$ ，使得 $uw \in E(D)$ ，于是 $v_1 u w v_3 \cdots v_k v_1$ 是 $D$ 中长度为 $k+1$ 的有向回路，如图 2.20(b)所示。

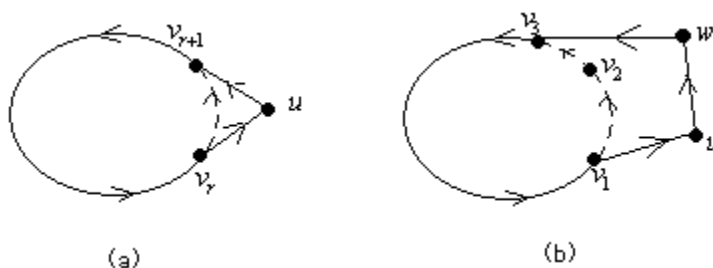


图 2.20

## 作业

1. 设 $G$ 为欧拉图， $v_0 \in V(G)$ ，若从 $v_0$ 开始沿着 $G$ 中的边（不重复）行走，无论走到哪个结点处，都可以接着走遍没走过的边，然后回到 $v_0$ ，则称 $v_0$ 是可以任意行遍的。证明：

$v_0$ 是可以任意行遍的当且仅当 $G - v_0$ 中无回路。

2. 如何将9个 $\alpha$ ，9个 $\beta$ ，9个 $\gamma$ 排成循环序列 $x_1 \cdots x_{27}$ ，使得对于字母表 $\{\alpha, \beta, \gamma\}$ 上任何长度为3的字 $w$ ，都存在 $i$ （ $1 \leq i \leq 27$ ），使得 $x_i x_{i+1} x_{i+2} = w$ 。

3. 设 $G$ 为 $n$ 阶无向简单图，边数 $m = \frac{1}{2}(n-1)(n-2) + 2$ ，证明 $G$ 为哈密顿图；并举

例说明，当 $m = \frac{1}{2}(n-1)(n-2) + 1$ 时， $G$ 不一定是哈密顿图。

4. 若二部图 $G = (V_1, V_2; E)$ 中， $|V_1| \neq |V_2|$ ，则 $G$ 是非哈密顿图。

5. 对一个 $3 \times 3 \times 3$ 的立方体，能否从一个角开始，通过所有27个 $1 \times 1 \times 1$ 的小立方块各



一次，最后到达中心？试说明理由。

6. 设  $G$  是无向简单图，若从  $G$  的任意一点  $v_0$  出发，沿着  $G$  的边随意走向任何尚未经过的结点，总能走出一条哈密顿道路，则称  $G$  是随意哈密顿图。 $G$  是随意哈密顿图当且仅当  $G$  是  $K_n$ ， $C_n$  或  $K_{n/2, n/2}$ 。